

11739

4. А.И.Евстихин, В.И.Шулепов, С.И.Юдковский, В.В.Никишанов, А.В.Шульга, О.И.Батенина, В.Н.Киселева. " Влияние разме-ра атома легирующего элемента на структуру и свойства малолегированных молибденовых сплавов". Тезисы докладов II Всесоюзного совещания по химии и технологии молибдена и вольфрама. Нальчик, 1974 г., с.9-10.
5. С.И.Юдковский, А.В.Шульга, С.К.Акифьев, Ю.С.Попова "Влия-
ние термообработки на структуру и свойства эвтектических
сплавов систем Mo - Ti - C и Mo - Cr - C. Тезисы докла-
дов Всесоюзного научно-технического совещания " Новые
процессы в технологии тугоплавких металлов". Москва,
1974 г., с. 60-61.

342
Op 1791

МИНИСТЕРСТВО ВЫСШЕГО И СРЕДНЕГО СПЕЦИАЛЬНОГО
ОБРАЗОВАНИЯ СССР

Московский ордена Трудового Красного Знамени
инженерно-физический институт

На правах рукописи

ШУЛЬГА Андрей Васильевич

ВЛИЯНИЕ СТАРЕНИЯ НА ТЕМПЕРАТУРУ ХЛАДНОЛОМКОСТИ
И СТРУКТУРУ МАЛОЛЕГИРОВАННЫХ СПЛАВОВ МОЛИБДЕНА

(01.04.07 - Физика твердого тела)

Автореферат

диссертации на соискание ученой
степени кандидата технических наук

Москва - 1976

Л-57357 . Подписано к печати 19/X-76 г. Зак1992. Тираж 100

Типография МИФИ, Камирское шоссе, 1.



Контрольный фрагмент

Работа выполнена в Московском ордена Трудового Красного
Знамени инженерно-физическом институте.

Научные руководители:

заслуженный деятель науки и техники РСФСР,
профессор,

доктор технических наук

ЕВСТОХИН А.И.

доктор технических наук

ШУЛЕНОВ В.И.

Официальные оппоненты:

доктор технических наук

МОРГУНОВА Н.Н.

доктор технических наук

РЫМАШЕВСКИЙ Г.А.

Ведущее предприятие: Всесоюзный научно-исследовательский и
проектный институт тугоплавких металлов и твердых спла-
вов (ВНИИТС).

Защита состоится " " 197 г. на заседании
специализированного совета К-35/2 по присуждению ученых степен-
ей кандидата наук по специальностям технической физики в
Московском ордена Трудового Красного Знамени инженерно-физи-
ческом институте по адресу: Москва, 115409, Каширское шоссе, 1.

С диссертацией можно ознакомиться в библиотеке института.

Автореферат разослан " " 197 г.

Ученый секретарь
специализированного совета



Актуальность проблемы. Прогресс в развитии различных об-
ластей новой техники в настоящее время во многом определяется
применением в качестве высокотемпературных конструкционных ма-
териалов тугоплавких металлов и их сплавов, среди которых важ-
ное место занимают сплавы на основе молибдена. Значительные
успехи в создании жаропрочных сплавов на основе молибдена до-
стигнуты, в частности, при легировании молибдена углеродом и
металлами, например, Iva подгруппы, обладающими высоким срод-
ством к углероду. Существенное повышение прочности при высоких
температурах связывают при этом в значительной степени с выде-
лением карбидных частиц. Однако применение сплавов молибдена
такого типа в ряде случаев ограничивается или совсем невозмож-
но вследствие повышенной склонности к хрупкому разрушению при
температурах в районе комнатной и даже выше. В этой связи
очень важной и актуальной является задача повышения низкотем-
пературной пластичности сплавов молибдена при сохранении высо-
кой жаропрочности. В то же время исследования по влиянию выде-
ления частиц карбидов на низкотемпературную пластичность молиб-
дена и его сплавов весьма ограничены, а результаты их довольно
противоречивы. Эти обстоятельства делают весьма актуальным ис-
следование влияния старения на температуру хладноломкости ма-
лолегированных сплавов молибдена и создание в результате это-
го основ для формулирования принципов разработки научно об-
основанной технологии получения полуфабрикатов сплавов молиб-
дена.

Основная цель работы. Исследование влияния старения на
структурную и температурную хладноломкость малолегированных спла-
вов молибдена в зависимости от природы легирующего элемента

замещения и выбор на основании этого путей повышения низкотемпературной пластичности экспериментального сплава 4604 системы Mo-V-C (Mo-0,3±1,0% V -0,005±0,04%C).

Научная новизна. В работе установлено, что при закалке малолегированных сплавов молибдена с 2100°C со скоростями охлаждения ($V_{\text{окл}}$) 15 град/сек, 100 град/сек (охлаждение в печи, в масле) интенсивно проходит распад твердого раствора и только при $V_{\text{окл}} \sim 5 \cdot 10^3$ град/сек (охлаждение в жидким галлием) удается существенно затормозить процесс распада твердого раствора при охлаждении. На примере исследованных сплавов молибдена установлено существенное влияние на особенности распада твердого раствора в сплавах молибдена размерного несоответствия атомов легирующего металла и матрицы. Установлено существенное влияние на температуру хладноломкости группировок тонкодисперсных частиц карбидов, образующихся при старении, в которых существуют значительные фазовые напряжения.

Практическая ценность работы. Из результатов данной работы вытекает следующая практическая рекомендация: необходимо снизить верхний предел содержания ванадия в сплаве 4604, ограничить количество углерода вводимого в сплав 4604.

В соответствии с этим ВИЛСом вместо прежних технических условий на химический состав сплава 4604, установлен новый стандарт, согласно которому верхний предел содержания ванадия в сплаве 4604 снижен с 1% до 0,8%, а содержание углерода ограничено 0,02%.

Автор защищает результаты:

- установление закономерностей кинетики распада твердых растворов в молибдене: при закалке с 2100°C со скоростями охлаждения ($V_{\text{окл}}$) ~ 15 град/сек, 100 град/сек (охлаждение в печи, в масле) интенсивно проходит распад твердого раствора и только при $V_{\text{окл}} \sim 5 \cdot 10^3$ град/сек (охлаждение в жидким галлием) удается существенно затормозить процесс распада твердого раствора при охлаждении;

- установление существенного влияния фактора размерного несоответствия атомов легирующего металла и молибденовой матрицы, а также связанного с ним несоответствия удельных атомных объемов выделяющейся карбидной фазы и матрицы в исследованных сплавах молибдена на интенсивность образования тонкодисперсных выделений и последующей коагуляции карбидных частиц;
- выяснение механизма существенного повышения низкотемпературной пластичности экспериментального сплава 4604 по сравнению с промышленным сплавом ВМ1, который заключается в том, что в сплаве 4604 изменение удельного атомного объема при выделении частиц карбидов значительно меньше, чем в сплаве ВМ1 (~18% и ~65% соответственно);
- выявление весьма существенного влияния на температуру хладноломкости возникающего в результате распада твердого раствора неоднородного распределения тонкодисперсных частиц карбидов, образующих в отдельных местах группировки, в которых существуют значительные фазовые напряжения;
- установление необходимости снижения верхнего предела содержания ванадия и углерода в сплаве 4604 для снижения температуры перехода его из пластичного состояния в хрупкое.

Повышенная прочность при высоких температурах сплавов молибдена с углеродом и карбидообразующим металлом в значительной степени связана с выделением частиц карбидов и существенным образом зависит от природы легирующего металла, типа выделяющейся карбидной фазы. Очевидно, что эти факторы должны оказывать весьма существенное влияние и на низкотемпературную пластичность сплавов молибдена.

Однако имеющиеся литературные данные по влиянию выделения фаз внедрения, в частности карбидов, а также природы легирующего металла, входящего в состав карбида на низкотемпературную пластичность молибдена ограничены и многие из них противоречивы.

По данным автора настоящей работы переход от легирования молибдена, раскисленного углеродом, такими элементами как цирконий и титан, которые являются активными карбидообразователями (промышленный сплав ВМ1), к легированию ванадием, также обладающему высоким сродством к углероду (экспериментальный сплав 4604), приводит к существенному повышению низкотемпературной пластичности. Температура хладноломкости (T_x) сварного шва при одинаковых условиях испытания и оценки пластичности у сплава 4604 примерно на 200°C ниже, чем у сплава ВМ1. Сплав 4604 обладает при этом также более высокой, чем сплав ВМ1, жаропрочностью: $\sigma_{1500^{\circ}\text{C}}^{100 \text{ ч.}}$ равна соответственно $3,5 \text{ кг}/\text{мм}^2$ и $2,5 \text{ кг}/\text{мм}^2$. В этой связи в данной работе было проведено исследование механизма существенного повышения низкотемпературной пластичности сплава 4604 по сравнению со сплавом ВМ1 путем сравнительного изучения влияния старения на структуру и

свойства сплавов ВМ1 и типа 4604.

Поскольку в промышленных слитках экспериментального сплава 4604 разброс содержания легирующих компонентов по поперечному и продольному сечению слитка может выходить за пределы их паспортного содержания, в настоящей работе было дополнительно исследовано влияние отклонения химического состава сплава 4604 от паспортного на температуру перехода его в хрупкое состояние.

Материал и методики исследования

В работе были исследованы следующие сплавы молибдена: промышленный сплав ВМ1 (Mo-0,12Cr -0,11Ti -0,02C), экспериментальный сплав 4604 (Mo-0,6V -0,02C), сплавы типа 4604 с предельно возможным для промышленного слитка содержанием ванадия (Mo-1,2V -0,02C) и углерода (Mo-1,2V -0,06C). В некоторых экспериментах исследовали высоколегированые сплавы Mo-3TiC (Mo-2,4Ti -0,6C), Mo-6TiC (Mo-4,8Ti -1,2C), Mo-15TiC (Mo-10,4Ti -2,6C). Содержание химического элемента не превышало соответственно $3 \cdot 10^{-3}\%$, $2 \cdot 10^{-3}\%$, $6 \cdot 10^{-4}\%$.

Образцы изготавливали из прутков диаметром 20 мм, спрессованных со степенью деформации ~98% из вакуумизированных слитков. Такая большая степень деформации применялась для "перемешивания" металла и выравнивания его химического состава.

Исследования проводили на образцах в закаленном состоянии и после старения.

При проведении закалки образцы исследованных сплавов из-

гревали до температуры $2100^{\circ} \pm 50^{\circ}\text{C}$, выдерживали при этой температуре с целью гомогенизации металла 1,5 часа и затем охлаждали с различной скоростью, что достигалось: отключением тока нагревателя ($V_{\text{охл}} \sim 15$ град/сек), использованием в качестве закалочной среды минерального масла марки ВМ1 с низкой упругостью пара ($V_{\text{охл}} \sim 100$ град/сек) и жидкого галлия ($V_{\text{охл}} \sim 5 \cdot 10^3$ град/сек). Температура образца контролировалась оптическим пирометром ОП-48 и по осциллографической записи термоэдс вольфрами-вольфрамовой термопары ВР 5/20, закрепленной в образце. Старение проводили в высокотемпературной вакуумной печи ТВВ-4 при температурах 1300°C и 1450°C при выдержках до 50 часов.

Структуру сплавов исследовали методами металлографии, дифракционной электронной микроскопии, авторадиографии, измерения электросопротивления; проводился рентгеноструктурный фазовый анализ сплавов.

Микроструктуру исследовали на образцах, электрополированных для снятия наклепанного слоя (электролит 95% $\text{H}_2\text{S O}_4$ + 5% этилового спирта) и подвергнутых электротравлению (электролит 95% этилового спирта + 5% $\text{H}_2\text{S O}_4$).

Электронномикроскопическое исследование проводили на микроскопе УЭМВ 100К при ускоряющем напряжении 100 кв. Объекты для исследования - фольги готовили по дисковой методике с использованием струйной электрополировки (электролит 95% $\text{H}_2\text{S O}_4$ + 5% этилового спирта). Цилиндрические заготовки диаметром 3 мм сначала проходили термообработку, а затем их разрезали на диски толщиной $\sim 0,5$ мм,шлифовали, полировали и утоняли поочередно с двух сторон струйной электрополировкой.

Для каждого состояния изучали не менее 10 фольг.

Авторадиографическое исследование распределения радиоактивного изотопа C^{14} проводили контактным методом с использованием мелкозернистых ядерных фотоэмulsionий МР и МК. Углерод вводили при плавке в лабораторной луговой печи МИФИ-9-3 из расчета: в слиток сплава весом 100 г - 1 милликори изотопа элементарного углерода (т.е. 3-5 мг или $0,003 \pm 0,005\%$). Фазовый анализ проводили методом избирательного электролитического растворения матрицы (электролит 5% HCl + 95% этилового спирта), в результате чего вторая фаза выделялась на аноде в виде осадка. Рентгеноструктурный анализ анодного осадка проводился в камерах РКД (57,8 мм) и РКУ (114,6 мм) на медном излучении с использованием никелевого фильтра. Прецизионное определение периода решетки матрицы проводилось по рентгенограммам, полученным на камерах КРОС и РКЭ по безэталонному методу. Съемка проводилась на медном излучении с фокусировкой линии 400. Относительная ошибка измерения составляла $0,005\%$. Электросопротивление измеряли компенсационным методом при температуре кипения жидкого азота (77°K). Относительная ошибка измерения $\%$.

Для определения температуры хладноломкости (T_x) проводили испытания образцов размерами $1 \times 4 \times 30$ на статический изгиб; расстояние между опорами 19 мм, радиус закругления пuhanсона 2 мм, скорость его движения 2 мм/мин. За T_x принимали минимальную температуру, при которой образцы изгибались на 90° . При изгибе образца осуществлялась запись диаграммы напряжение - прогиб, по которой определялся условный предел текучести

$\sigma_{0,2}$. Таким образом, в интервале температур, при которых проводились испытания для определения T_x , строилась температурная зависимость условного предела текучести ($\sigma_{0,2}$ ($^{\circ}$)). Твердость измеряли по Роквеллу с использованием в качестве индентора стального шарика диаметром 1,59 мм (шкала HRB). Делалось по 10 замеров, разброс значений при измерениях не превышал 1 HRB.

Микротвердость определяли на приборе ПМТ-3 с приставкой для автоматического нагружения. Нагрузка составляла 50Г, время выдержки под нагрузкой 10 сек. На образце делалось по 100 уколов, что позволило при использовании статистической обработки результатов сузить доверительный интервал до $2,2 \text{ кг}/\text{мм}^2$ при надежности не менее 0,99.

Влияние скорости охлаждения на структуру закаленного состояния

Металлографическое и авторадиографическое исследование структуры сплавов ВМ1 и 4604 в закаленном состоянии при охлаждении из однофазной области (после выдержки при 2100°C в течение 1,5 час) со скоростями ~ 15 град/сек (закалка отключением тока через нагреватель печи) и ~ 100 град/сек (закалка в масло) показало, что в процессе охлаждения интенсивно протекает распад твердого раствора. Об этом свидетельствует установленная авторадиографическим методом существенная неоднородность распределения углерода в объеме зерна и обогащение им границ, а при проведении металлографического исследования наличие в зерне и по границам большого количества частиц избыточной фазы. В то же время в случае охлаждения со скоростью

~ 100 град/сек размер частиц существенно меньше, чем при охлаждении со скоростью ~ 15 град/сек. По данным рентгеноструктурного анализа анодного осадка, полученного при электролитическом растворении молибденовой матрицы в сплаве ВМ1 выделяется фаза с Г.Ц.К. решеткой и периодом $a = 4,671 \text{ \AA}$, несколько меньшим, чем у карбида циркония, что можно объяснить присутствием в карбиде циркония некоторого количества титана. В сплаве 4604 выделяется фаза с Г.П.У. решеткой и параметрами $a = 2,9957 \text{ \AA}$, $c = 4,7295 \text{ \AA}$, которые меньше, чем у Mo_2C . Этот факт можно объяснить присутствием в карбиде Mo_2C атомов ванадия, имеющих меньший размер, чем атом молибдена. Таким образом введение ванадия приводит к уменьшению несоответствия удельных атомных объемов выделяющегося карбида и молибденовой матрицы.

При охлаждении со скоростью $\sim 5 \cdot 10^3$ град/сек (в жидком галлии) удалось в значительно большей степени затормозить процесс распада твердого раствора при охлаждении, о чем свидетельствует отсутствие в зерне и на границах видимых в оптический микроскоп частиц второй фазы, а также однородная плотность почернения авторадиограммы сплава 4604 и существенно более однородная, чем при закалке в масле плотность почернения авторадиограммы сплава ВМ1. В то же время при электронномикроскопическом исследовании тонкой структуры сплавов ВМ1 и 4604 наблюдается большое количество равномерно распределенных тонкодисперсных выделений, а в отдельных местах с повышенной плотностью дислокаций наблюдаются более крупные частицы. Образование тонкодисперсных выделений привело к значительным упругим искажениям матрицы, о чем свидетельствует наличие де-

формационного контраста около выделений. Размер областей упругих искажений в сплаве ВМ1 существенно больше, чем в сплаве 4604 ($\sim 1000 \text{ \AA}$ и 100 \AA соответственно).

Таким образом при охлаждении со скоростью $\sim 5 \cdot 10^3$ град/сек в исследованных сплавах не удалось получить полностью однородный пересыщенный твердый раствор, а зафиксирована в основном стадия гомогенного распада. В соответствии с работами Н.Н.Буйнова, Е.Г.Нестеренко, А.Келли по исследованию структуры классических дисперсионно твердеющих сплавов в закаленном состоянии, дальнейшее увеличение скорости охлаждения, очевидно, не позволит существенно повысить степень однородности твердого раствора, поскольку рост скорости охлаждения, увеличивая пересыщение металла вакансиями, будет интенсифицировать гомогенный распад.

По данным авторадиографического и электронномикроскопического исследования, измерения удельного электросопротивления и параметра решетки твердого раствора при одной и той же скорости охлаждения ($5 \cdot 10^3$ град/сек) степень распада в сплаве ВМ1 существенно выше, чем в сплаве 4604.

Различие в степени распада твердого раствора в сплавах ВМ1 и 4604 и в содержании легирующего металла в карбидной фазе можно объяснить следующим образом: атомы циркония и титана, у которых размерное несоответствие с атомами молибденовой матрицы (δ_A) определяющее величину энергии связи примесных атомов с дефектами решетки (например, с дислокацией) существенно выше, чем у атомов ванадия (15,2%, 5,7% и -3,5% соответственно у атомов циркония, титана, ванадия) сегрегируют на дислокациях и других дефектах кристаллической решетки

в гораздо большей степени и при более высоких температурах.

При исследовании сплавов системы Мo-TiC нами подтверждено, что различие в составе карбидной фазы в значительной степени связано с различием в энергии взаимодействия примесных атомов с дефектами кристаллической решетки (например, с дислокацией), обусловленным различной величиной δ_A , а не с термодинамической прочностью образующихся фаз в сплавах молибдена. При высокой температуре и малой концентрации титана распад твердого раствора идет с образованием на дислокации сегрегации только углерода – примеси внедрения и поэтому выделяется карбид молибдена, при умеренных температурах развивается сегрегация титана – примеси замещения. В этом случае начинает выделяться не Mo_2C , а более термодинамически прочный TiC . Повышение содержания легирующего металла (титана) приводит к увеличению концентрации его атомов на дислокациях, образованию сегрегаций при более высоких температурах, а следовательно, к повышению температуры образования TiC .

У сплава ВМ1 в закаленном состоянии температура хладноломкости (T_x) заметно выше, чем у сплава 4604 (-30°C , против -80°C у сплава 4604), выше также уровень $\sigma_{02}(t^\circ)$, твердость (HRB) и микротвердость (H_m) (HRB = 91,5, $H_m = 217,5 \text{ кг}/\text{мм}^2$ против HRB = 88,8 $H_m = 210,1 \text{ кг}/\text{мм}^2$ у сплава 4604).

На этой стадии распада твердого раствора, которая характерна для закаленного состояния выделения весьма мелкодисперсны, поэтому релаксация напряжений около них, путем генерации дислокаций, согласно работам Эшби и др., затруднена настолько, что вряд ли существенным образом влияет на уровень напряжений. Поэтому в сплаве ВМ1, у которого величина несоответствия раз-

меров атомов легирующего металла и матрицы, а также изменение удельного атомного объема при выделении частиц второй фазы ($\frac{\Delta V}{V}$), определенное по результатам рентгеноструктурного фазового анализа и измерения периода решетки матрицы, существенно выше, чем в сплаве 4604 ($\frac{\Delta V}{V} = 63,4\%$ в сплаве ВМІ и $18,0\%$ в сплаве 4604), можно ожидать более высокий уровень напряжений около тонкодисперсных выделений. Это согласуется с большими размерами областей упругих искажений около тонкодисперсных выделений в сплаве ВМІ, чем в сплаве 4604.

Таким образом, установленный в работе более высокий уровень T_x , $\sigma_{0,2}(t^0)$, НВВ, Н_р у сплава ВМІ в исходном закаленном состоянии можно объяснить большим уровнем напряжений при образовании выделений в этом сплаве, а также большей степенью распада твердого раствора.

Исследование изменения структуры и свойств сплавов ВМІ и 4604 при старении

Исследование влияния старения на структуру и свойства сплавов проводилось при температурах 1300°C и 1450°C . Зависимость T_x сплавов ВМІ и 4604 от времени старения при 1300°C приведена на рис. I.

T_x сплавов ВМІ и 4604, как видно из рис. I, меняется по-разному. При малых выдержках (0,5, 2, 5 часов) T_x у сплава ВМІ практически не меняется, в то время как у сплава 4604 при выдержке 0,5 часа довольно существенно возрастает, оставаясь при увеличении выдержки до 5 часов примерно на таком же уровне, что и у сплава ВМІ. При увеличении выдержки до 30 часов наблюдается возрастание T_x у обоих сплавов, особенно значитель-

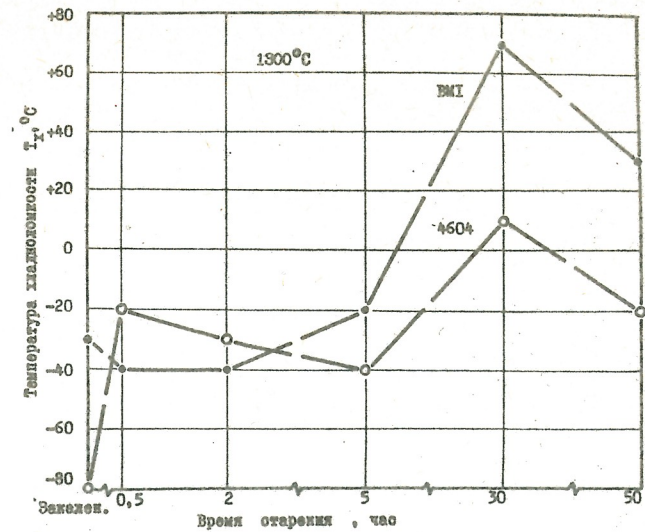


Рис. I. Влияние старения на температуру хладноломкости молибденовых сплавов ВМІ и 4604.

ное у сплава ВМІ и существенно меньшее у сплава 4604 (соответственно на $90-110^{\circ}\text{C}$ и $30-50^{\circ}\text{C}$). Причем T_x для сплава 4604 после 30 часов выдержки составляет всего $+10^{\circ}\text{C}$ против $+70^{\circ}\text{C}$ для сплава ВМІ. При увеличении времени выдержки до 50 часов T_x снижается до $+30^{\circ}\text{C}$ у сплава ВМІ и до -20°C у сплава 4604.

При температуре старения 1450°C характер зависимости T_x от времени выдержки остался прежним, хотя максимумы T_x сдвинулись по времени в сторону меньших выдержек, очевидно, вслед-

ствие ускорения процессов, приводящих к росту T_x при повышении температуры старения с 1300°C до 1450°C .

Различный характер изменения T_x сплавов ВМ1 и 4604 на начальной стадии старения можно объяснить следующим образом. В сплаве 4604 при закалке зафиксирован более однородный пересыщенный твердый раствор и T_x существенно ниже, чем у сплава ВМ1, в котором распад твердого раствора прошел в заметно большей степени в процессе охлаждения при закалке. При выдержке 0,5 часа при 1300°C у сплава 4604 наблюдается возрастание периода решетки твердого раствора, которое свидетельствует о протекании начальной стадии распада твердого раствора с выделением частиц второй фазы, обогащенной ванадием. Распад при этом идет главным образом по границам зерна, поскольку при авторадиографическом исследовании наблюдается значительное обогащение границ зерен углеродом, тогда как в теле зерна изменений распределения углерода практически не наблюдается. Электронномикроскопическое исследование свидетельствует о возникновении на границе деформационного контраста, обусловленного значительными упругимиискажениями матрицы в результате выделения тонкодисперсных частиц карбидов, что и приводит к росту T_x . Это согласуется с установленным при фрактографическом исследовании переходом от преимущественно транскристаллитного характера разрушения сплава 4604 в закаленном состоянии к преимущественно интеркристаллитному характеру разрушения после такой выдержки.

В сплаве ВМ1 при выдержке 0,5 часа как показало электронномикроскопическое исследование происходит некоторая релакса-

ция фазовых напряжений и как следствие этого некоторое снижение T_x . Необходимо отметить, что коагуляция частиц второй фазы в сплаве ВМ1 прошла при этом в отличие от сплава 4604 в заметно меньшей степени: размер частиц составляет соответственно 0,05–0,2 мк и 0,3–0,6 мк.

Таким образом, с одной стороны, большее размерное несоответствие атомов циркония и титана с атомами молибденовой матрицы в сплаве ВМ1, чем атомов ванадия в сплаве 4604 приводит к резкому ускорению процесса сегрегации примесных атомов и последующего выделения тонкодисперсных частиц второй фазы в сплаве ВМ1. С другой стороны большее несоответствие удельного атомного объема выделяющейся карбидной фазы и матрицы в сплаве ВМ1 по сравнению со сплавом 4604 обусловливает сильное торможение коагуляции частиц карбида ($\text{Zr,Ti}_2\text{C}$) в сплаве ВМ1 по сравнению с частицами ($\text{Mo,V}_2\text{C}$ в сплаве 4604).

Необходимо отметить, что на начальных стадиях старения плотность дислокаций особенно велика в тех местах, где частицы образуют группировки. Такое неравномерное распределение частиц наблюдается в значительно большей степени у сплава ВМ1, что хорошо согласуется с результатами авторадиографического исследования, согласно которым неоднородность распределения углерода по объему зерна в сплаве ВМ1 на этих стадиях старения существенно выше, чем у сплава 4604.

Монотонное изменение структуры сплавов ВМ1 и 4604 при выдержках 2 и 5 часов, установленное по результатам электронномикроскопического и авторадиографического исследования, по-видимому, обуславливает сохранение T_x примерно на одном уровне.

Согласно электронномикроскопическому исследованию, если при выдержке до 5 часов наблюдался некоторый рост частиц второй фазы, то при выдержке в течение 30 часов установлена принципиально новая картина. На дислокациях (петлях, клубках дислокаций) выделилось большое количество очень тонкодисперсных частиц ($0,01 \pm 0,03$ мк), которые создали заметный деформационный контраст. Это наблюдается в обоих сплавах и является, очевидно, причиной весьма существенного возрастания T_x сплавов ВМ1 и 4604 при 30 часовой выдержке. Крупные частицы второй фазы, которые были после 5 часового отпуска, около таких дислокационных скоплений встречаются крайне редко. Механизм перерастворения частиц второй фазы, по-видимому, аналогичен механизму перерастворения частиц карбидов в сплавах молибдена при создании ячеистой структуры.

Исследование тонкой структуры после выдержки 50 часов показало, что в сплаве ВМ1 имеется большое количество мелких выделений ($0,03 \pm 0,05$ мк) которые выделились, очевидно, на дислокациях, размеры их по сравнению с выдержкой 30 часов несколько увеличились. В сплаве 4604 частички, которые можно предполагать, являются вторичными, выросли до размеров (~0,2 мк) заметно больших, чем в сплаве ВМ1. Протеканием некоторой, релаксации локальных фазовых напряжений при увеличении размеров частиц можно объяснить снижение T_x сплавов при выдержке в течение 50 часов.

Данные авторадиографического исследования свидетельствуют о более интенсивном образовании скоплений углерода в сплаве ВМ1; в сплаве 4604 они образуются только при выдержках 30 и 50 часов.

Результаты исследования изменения некоторых механических свойств сплавов ВМ1 и 4604 при старении ($\sigma_{0,2}(t^\circ)$, HRB, H_p) свидетельствуют об отсутствии корреляции с величиной T_x .

Так в закаленном состоянии, в котором методом дифракционной электронной микроскопии установлено наличие большого количества равномерно распределенных тонкодисперсных выделений, создающих значительные напряжения в матрице, уровень температурной зависимости условного предела текучести $\sigma_{0,2}(t^\circ)$ максимальен. Это согласуется с высокими значениями твердости и микротвердости. T_x же в закаленном состоянии у исследованных сплавов весьма низкая.

В то же время при старении, когда выделение тонкодисперсных частиц создающих значительные напряжения происходит не равномерно, с образованием в отдельных местах группировок, T_x существенно возрастает, тогда как упрочнение сплава может снижаться.

Исследование влияния повышенного содержания ванадия и углерода в сплаве 4604 на T_x

Увеличение содержания ванадия в сплаве 4604 до 1,2% привело к возрастанию T_x как в закаленном состоянии, так и при старении (см. рис. 2). При этом согласно результатам измерения периода кристаллической решетки твердого раствора и удельного электросопротивления, повышение содержания ванадия в сплаве 4604 привело к существенному увеличению его содержания в твердом растворе и меньшему в карбиде $(\text{Mo}, \text{V})_2\text{C}$. Вследствие этого изменение удельного атомного объема при выделении карбида в сплаве Mo-1,2V-0,02C выше, чем в сплаве 4604. Этим

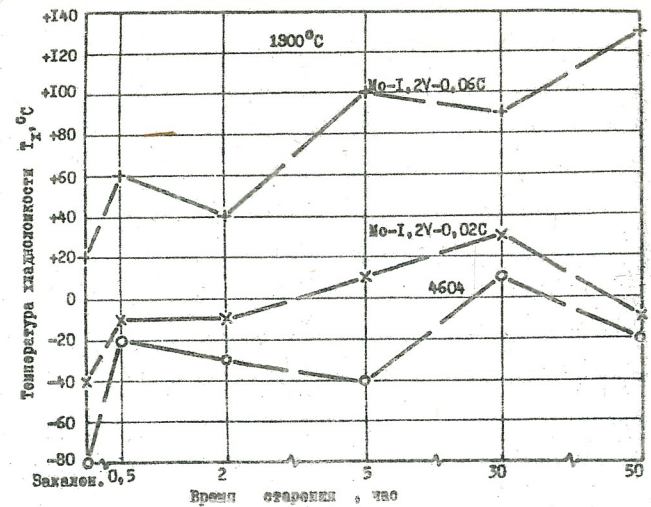


Рис. 2. Влияние старения на температуру хладноломкости молибденовых сплавов типа 4604.

можно объяснить повышение T_x при увеличении содержания ванадия в сплаве 4604.

Увеличение содержания углерода до 0,06% также привело к повышению T_x у сплава типа 4604 (рис. 2). Таким образом, при повышенном содержании ванадия и углерода на исследованных стадиях старения наблюдается весьма резкое возрастание T_x сплава 4604.

В соответствии с этими результатами в работе установлена необходимость снижения верхнего предела содержания ванадия и

углерода в сплаве 4604 для снижения температуры перехода его из пластичного состояния в хрупкое.

В соответствии с этой рекомендацией ВИЛСом был разработан и внедрен новый стандарт на химический состав сплава 4604.

ВЫВОДЫ

1. В диссертации исследованы структурные изменения и физико-механические свойства сплавов молибдена на ранних стадиях распада твердого раствора примеси внедрения — углерода после закалки в жидким галлии ($U_{\text{окл}} \sim 10^3 + 10^4$ град/сек).

2. В исследованных сплавах молибдена установлена следующая связь величин несоответствия размера атома легирующего элемента замещения и молибдена, а также удельного атомного объема выделяющейся карбидной фазы и матрицы с характером распада твердого раствора углерода и T_x :

а. Существенно большая величина размерного несоответствия атомов циркония, титана в сплаве ВМ1 системы Mo-Zr-Ti-C, чем у атомов ванадия в сплаве 4604 системы Mo-V-C обуславливает большую интенсивность образования тонкодисперсных выделений в сплаве ВМ1, в отличие от сплава 4604, и отсутствие высокотемпературной области стабильности Mo_2C в сплаве ВМ1.

б. Скорость коагуляции частиц второй фазы — карбида (Zr, Ti)_C в сплаве ВМ1 существенно меньше, чем второй фазы — $(\text{Mo}, V)_2\text{C}$ в сплаве 4604 вследствие большей величины несоответствия удельного атомного объема второй фазы и матрицы в сплаве ВМ1.

в. Причиной весьма существенного возрастания T_x у исследованных сплавов в процессе старения является, очевидно, групповое выделение тонкодисперсных частиц карбидов, создающих, при снижении упругой энергии металла в целом, значительные локальные напряжения в группировках. О возникновении таких напряжений свидетельствует появление деформационного контраста на электронномикроскопических снимках.

г. Значительное повышение низкотемпературной пластичности при переходе от легирования молибдена цирконием и титаном (промышленный сплав ВМ1), к легированию ванадием (экспериментальный сплав 4604) связано с существенно меньшим изменением удельного атомного объема при выделении карбидных частиц в сплаве 4604 (~18%, против ~63% в сплаве ВМ1).

3. Отсутствие корреляции между $\sigma_{0,2}(t^*)$, HRB, H_m и T_x при старении исследованных сплавов свидетельствует в пользу предположения о доминирующем влиянии на T_x сплавов молибдена именно локальных очагов напряженного состояния, возникающих в группировках частиц фазы внедрения.

Таким образом, на примере исследованных сплавов экспериментально подтверждена гипотеза о решающем влиянии локального фазового неклева на T_x сплавов молибдена.

4. Показано, что при выборе оптимального количества легирующего элемента замещения необходимо учитывать влияние легирующего металла на удельный атомный объем не только второй фазы, но и матрицы.

Установлена необходимость снижения верхнего предела содержания ванадия и углерода в сплаве 4604 для повышения низкотемпературной пластичности сплава.

5. Результаты работы были использованы ВИДСом при разработке и внедрении нового стандарта на химический состав сплава 4604.

Результаты работы доложены на: Всесоюзном научно-техническом совещании "Новые процессы в технологии тугоплавких металлов", Москва, 1974 г.; II Всесоюзном совещании по химии и технологии молибдена и вольфрама. Нальчик, 1974 г.; Научной конференции МИФИ, Москва, 1974 г.

Основное содержание диссертации опубликовано в следующих работах:

1. А.И.Евстюхин, В.И.Шулепов, С.И.Юдовский, В.В.Никишанов, Ю.С.Попова, В.Н.Киселева, А.В.Шульга, О.А.Филиппова, С.К.Акифьев, Б.Ш.Кишмаков. "О механизме выделения карбидов в сплавах на основе молибдена". ФИХМ, 1972, № 2, с. 126-131.
2. В.С.Емельянов, В.И.Шулепов, С.И.Юдовский, В.В.Никишанов, А.В.Шульга. "Исследование влияния скорости охлаждения на структуру и фазовый состав литого сплава молибдена с 4,6% Ti и 1,0% C". Сб. "Металлургия и металловедение чистых металлов". М., Атомиздат, 1973, вып. 10, с. 14-17.
3. А.И.Евстюхин, С.И.Юдовский, В.В. Никишанов, Ю.С.Попова, А.В.Шульга, С.К.Акифьев "Механизм выделения карбидов в молибденовых сплавах". Тезисы докладов II Всесоюзного совещания по химии и технологии молибдена и вольфрама. Нальчик, 1974 г., с.8-9.